



# Construcción de multiwavelets de Hermite

Lucila Calderón <sup>1,3</sup> María Teresa Martín <sup>2,3</sup> Victoria Vampa <sup>1</sup>

<sup>1</sup> Departamento de Ciencias Básicas - Facultad de Ingeniería

<sup>2</sup> Facultad de Ciencias Exactas - IFIP

Universidad Nacional de La Plata

<sup>3</sup> CONICET

*LXV Reunión anual de comunicaciones científicas*

*Unión Matemática Argentina*

23 de Septiembre de 2016



# Motivación

$$-\frac{d}{dx} \left( p(x) \frac{du}{dx} \right) + q(x)u(x) = f(x), \quad x \in (0, 1)$$

$u(0) = u(1) = 0$ .  $p$  y  $q$  funciones continuas sobre  $[0, 1]$

Formulación débil del problema: Hallar  $u \in V = H_0^1(0, 1)$  tal que

$$a(u, v) = \langle f, v \rangle, \quad \forall v \in V$$

Donde

$$a(u, v) = \int_0^1 p(x)u'(x)v'(x) dx + \int_0^1 q(x)u(x)v(x) dx, \text{ con } u, v \in V.$$



# Método de Galerkin

Encontrar  $u_n \in V_n \subset V$  tal que

$$a(u_n, v) = \langle f, v \rangle, \quad \forall v \in V_n$$

Sea  $\{\phi_1, \dots, \phi_n\}$  base de  $V_n$ ,

$$u_n = \sum_{j=1}^n \alpha_j \phi_j$$

$$\sum_{j=1}^n \alpha_j a(\phi_j, \phi_i) = \langle f, \phi_i \rangle \quad \forall i \in \{1, 2, \dots, n\}$$

$$K \alpha = R$$



# Resolución del sistema $K \alpha = R$

Propiedades que interesan:

- Bajo costo computacional.
- $K$ : matriz esparcida.
- $K$ : número de condición pequeño.
- $u_n = \sum_{j=1}^n \alpha_j \phi_j$  buena aproximación de  $u$ .

Qué subespacios  $V_n$  convienen?

→ Análisis multirresolución



# Análisis de multirresolución sobre $L^2(\mathbb{R})$

$$\dots \subset V_{-2} \subset V_{-1} \subset V_0 \subset V_1 \subset V_2 \subset \dots \quad V_j \subset L^2(\mathbb{R}), \quad j \in \mathbb{Z}$$

- ①  $\bigcap V_j = \{0\}, \quad \overline{\bigcup V_j} = L^2(\mathbb{R}).$
- ②  $f(x) \in V_j \iff f(2x) \in V_{j+1}, \quad j \in \mathbb{Z}.$
- ③  $\phi(x) \in V_0$  función de escala, sus traslaciones son una base de  $V_0$ .

- $\{\phi_{j,k}(x) = 2^{j/2}\phi(2^j x - k), k \in \mathbb{Z}\} \Rightarrow V_j = \overline{\text{span}}\{\phi_{j,k} : k \in \mathbb{Z}\}$
- *Espacios wavelets*  $W_j$ : complemento ortogonal de  $V_j$  en  $V_{j+1}$ ,

$$V_{j+1} = V_j \oplus W_j$$

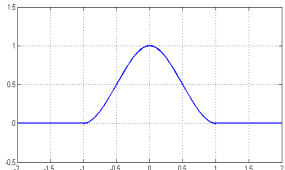
- Existe  $\psi$ : *wavelet*

$$\{\psi_{j,k}(x) = 2^{j/2}\psi(2^j x - k) : k \in \mathbb{Z}\} \Rightarrow W_j = \overline{\text{span}}\{\psi_{j,k} : k \in \mathbb{Z}\}$$

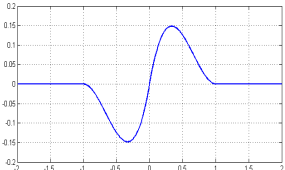


# Splines cúbicos de Hermite

$$\phi_1(x) := \begin{cases} (x+1)^2(1-2x) & x \in [-1, 0] \\ (1-x)^2(2x+1) & x \in [0, 1] \\ 0 & \text{cc} \end{cases}$$



$$\phi_2(x) := \begin{cases} x(x+1)^2 & x \in [-1, 0] \\ x(1-x)^2 & x \in [0, 1] \\ 0 & \text{cc} \end{cases}$$



$$\phi_1(0) = 1, \quad \phi'_1(0) = 0, \quad \phi_2(0) = 0, \quad \phi'_2(0) = 1$$

$V_0$  es el espacio generado por las traslaciones de  $\phi_1$  y  $\phi_2$ .



# Hacia la construcción de wavelets

Consideremos

$$V_1 = V_0 \oplus W_0$$

Se desea encontrar una wavelet tal que

$$\begin{aligned}\langle \psi'_1(x), \phi'_1(x - k) \rangle &= \langle \psi'_2(x), \phi'_1(x - k) \rangle = 0, \\ \langle \psi'_1(x), \phi'_2(x - k) \rangle &= \langle \psi'_2(x), \phi'_2(x - k) \rangle = 0 \quad \forall k \in \mathbb{Z}.\end{aligned}$$

Supongamos que

$$\Psi(x) = \sum_{k \in \mathbb{Z}} [b_1(k)\phi_1(2x - k) + b_2(k)\phi_2(2x - k)], \quad x \in \mathbb{R}.$$



Fijado  $l \in \mathbb{Z}$  se tiene,

$$\begin{aligned}\langle \psi'(x), \phi'_1(x-l) \rangle &= \left\langle \sum_{k \in \mathbb{Z}} [b_1(k)\phi'_1(2x-k) + b_2(k)\phi'_2(2x-k)], \phi'_1(x-l) \right\rangle \\ &= \sum_{k \in \mathbb{Z}} b_1(k) \langle \phi'_1(2x-k), \phi'_1(x-l) \rangle + \sum_{k \in \mathbb{Z}} b_2(k) \langle \phi'_2(2x-k), \phi'_1(x-l) \rangle.\end{aligned}$$

$$\begin{aligned}\langle \psi'(x), \phi'_2(x-l) \rangle &= \left\langle \sum_{k \in \mathbb{Z}} [b_1(k)\phi'_1(2x-k) + b_2(k)\phi'_2(2x-k)], \phi'_2(x-l) \right\rangle \\ &= \sum_{k \in \mathbb{Z}} b_1(k) \langle \phi'_1(2x-k), \phi'_2(x-l) \rangle + \sum_{k \in \mathbb{Z}} b_2(k) \langle \phi'_2(2x-k), \phi'_2(x-l) \rangle.\end{aligned}$$



$$l \in \mathbb{Z}$$

$$\begin{aligned}\langle \psi'(x), \phi'_1(x-l) \rangle = & \frac{1}{20} [-21 b_1(2l-2) + 42 b_1(2l) - 21 b_1(2l+2) \\ & - 3 b_2(2l-2) + 4 b_2(2l-1) - 4 b_2(2l+1) + 3 b_2(2l+2)]\end{aligned}$$

$$\begin{aligned}\langle \psi'(x), \phi'_2(x-l) \rangle = & \frac{1}{120} [33 b_1(2l-2) - 60 b_1(2l-1) + 60 b_1(2l+1) - 33 b_1(2l+2) \\ & + 4 b_2(2l-2) - 12 b_2(2l-1) + 28 b_2(2l) - 12 b_2(2l+1) + 4 b_2(2l+2)]\end{aligned}$$

Ahora debemos hallar las sucesiones  $b_1$  y  $b_2$ .



Llamamos

$$q_{11}(z) := \sum_{l \in \mathbb{Z}} b_1(2l+1) z^{2l+1},$$

$$q_{12}(z) := \sum_{l \in \mathbb{Z}} b_1(2l) z^{2l}$$

$$q_{21}(z) := \sum_{l \in \mathbb{Z}} b_2(2l+1) z^{2l+1},$$

$$q_{22}(z) := \sum_{l \in \mathbb{Z}} b_2(2l) z^{2l}.$$

$$B(z)(q_{11}(z), q_{12}(z), q_{21}(z), q_{22}(z))^T = 0$$

donde

$$B(z) = \begin{bmatrix} 0 & -21z^2 + 42 - 21z^{-2} & 4(z - z^{-1}) & -3(z^2 - z^{-2}) \\ -60(z - z^{-1}) & 33(z^2 - z^{-2}) & -12(z + z^{-1}) & 4z^2 + 28 + 4z^{-2} \end{bmatrix}$$



Se tienen dos soluciones independientes:

$$\begin{bmatrix} q_{11}(z) \\ q_{12}(z) \\ q_{21}(z) \\ q_{22}(z) \end{bmatrix} = \begin{bmatrix} -2(z + z^{-1}) \\ 4 \\ 21(z - z^{-1}) \\ 0 \end{bmatrix}, \quad \begin{bmatrix} q_{11}(z) \\ q_{12}(z) \\ q_{21}(z) \\ q_{22}(z) \end{bmatrix} = \begin{bmatrix} z^{-1} - z \\ 0 \\ 9(z + z^{-1}) \\ 12 \end{bmatrix}$$

$$\psi_1(x) = -2\phi_1(2x + 1) + 4\phi_1(2x) - 2\phi_1(2x - 1) - 21\phi_2(2x + 1) + 21\phi_2(2x - 1)$$

$$\psi_2(x) = \phi_1(2x + 1) - \phi_1(2x - 1) + 9\phi_2(2x + 1) + 12\phi_2(2x) + 9\phi_2(2x - 1)$$



- $\psi_1$  y  $\psi_2$  tiene soporte en  $[-1, 1]$ .
- Las traslaciones de ellas generan el espacio  $W_0$ .
- Son ortogonales respecto al producto interno de las derivadas,  $\langle u', v' \rangle$ .
- $\psi_1$  es simétrica y  $\psi_2$  es antisimétrica.

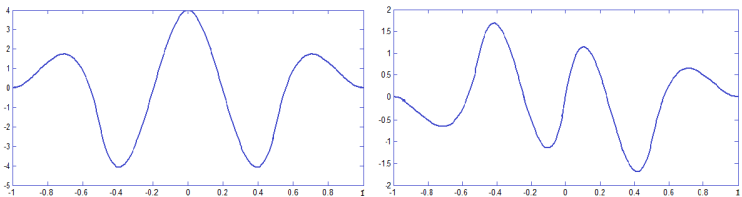


Figura: Wavelets  $\psi_1$  y  $\psi_2$ .



# Base de wavelets

$$\{\phi_1(2^j x - k) : k = 1, \dots, 2^j - 1\} \cup \{\phi_2(2^j x - k)|_{(0,1)} : k = 0, \dots, 2^j\}$$

base de  $V_j$

$$\{\psi_1(2^j x - k) : k = 1, \dots, 2^j - 1\} \cup \{\psi_2(2^j x - k)|_{(0,1)} : k = 0, \dots, 2^j\}$$

base de  $W_j$

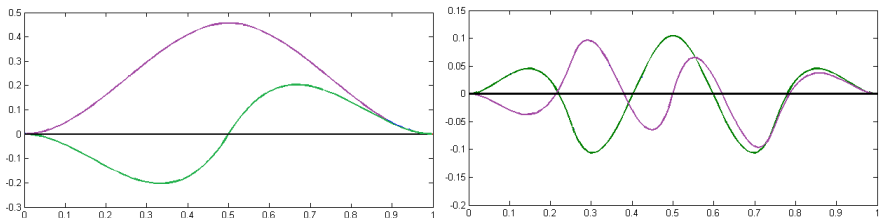


Figura: Funciones base del espacio  $V_1$  y  $W_1$ .



# Base de wavelets

$$\{\phi_1(2^j x - k) : k = 1, \dots, 2^j - 1\} \cup \{\phi_2(2^j x - k)|_{(0,1)} : k = 0, \dots, 2^j\}$$

base de  $V_j$

$$\{\psi_1(2^j x - k) : k = 1, \dots, 2^j - 1\} \cup \{\psi_2(2^j x - k)|_{(0,1)} : k = 0, \dots, 2^j\}$$

base de  $W_j$

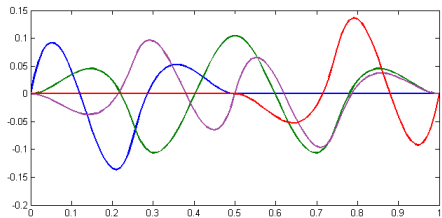
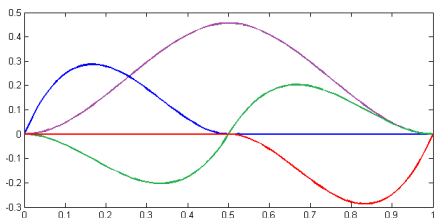


Figura: Funciones base del espacio  $V_1$  y  $W_1$ .



# Aplicaciones

Consideremos el problema de Dirichlet

$$\begin{cases} -u'' = f & \text{en } (0, 1) \\ u(0) = u(1) = 0 \end{cases}$$

donde  $f(x) = (53,7 \pi)^2 \sin(53,7 \pi x) + (2,3 \pi)^2 \sin(2,3 \pi x)$ ,  $x \in (0, 1)$ .

$V_{j+1} := V_1 + W_1 + W_2 + \dots + W_j$ , cuya base  $\{g_1, g_2, \dots, g_{2^{j+1}}\}$

Sea  $u_j = \sum_{i=1}^{2^{j+1}} \alpha_i g_i$ , la aproximación de Galerkin queda discretizada como

$$\sum_{i=1}^{2^{j+1}} \langle g'_l, g'_i \rangle \alpha_i = \langle g_l, f \rangle, \quad l = 1, \dots, 2^{j+1}$$

La matriz de rigidez  $K_j = (\langle g'_l, g'_i \rangle)_{1 \leq l, i \leq 2^{j+1}}$  es diagonal por bloques.

Por otra parte cada bloque es una matriz banda.



# Resultados numéricos

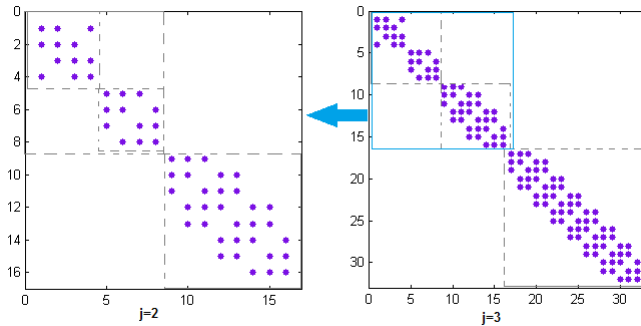


Figura: Forma de la matriz  $K_j$



# Condicionamiento

El número de condición  $k = \frac{\lambda_{\max}}{\lambda_{\min}}$  de la matriz  $K_j$  está uniformemente acotado.

$j$	6	7	8	9	10	11	12
$\lambda_{\max}$	1,5780	1,5787	1,5789	1,5789	1,5789	1,5789	1,5789
$\lambda_{\min}$	0,4220	0,4213	1,5789	0,4211	0,4211	0,4211	0,4211
$k$	3,7397	3,7474	3,7494	3,7498	3,7498	3,7498	3,7498

Cuadro: Número de condición de la matriz  $K_j$



La solución exacta del problema es

$$u(x) = \sin(53,7\pi x) + \sin(2,3\pi x), \quad x \in (0, 1).$$

El error relativo está dado por  $e_j = \frac{\|u_j - u\|}{\|u\|}$

$j$	$e_j$
6	$1.210 \times 10^{-2}$
7	$1.326 \times 10^{-3}$
8	$1.082 \times 10^{-4}$
9	$7.358 \times 10^{-6}$
10	$4.705 \times 10^{-7}$
11	$2.958 \times 10^{-8}$
12	$1.852 \times 10^{-9}$



## Solución exacta

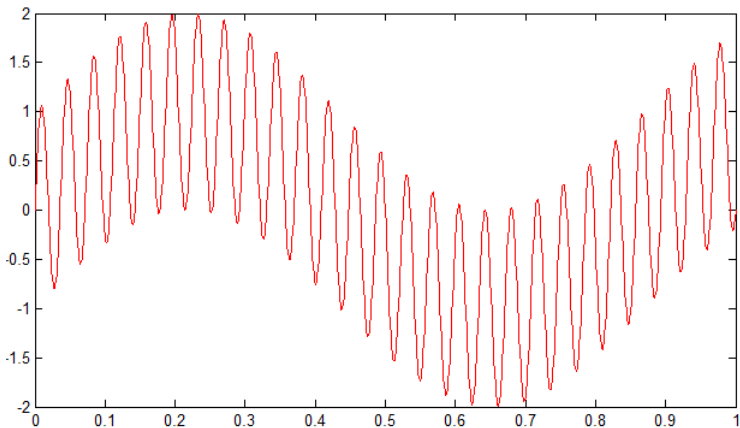
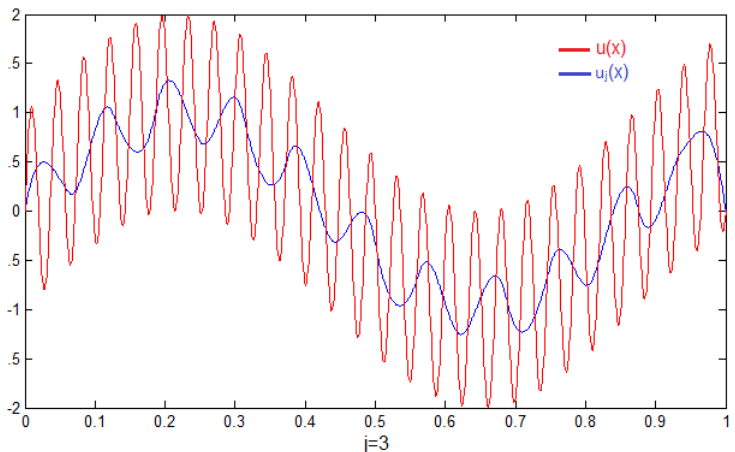
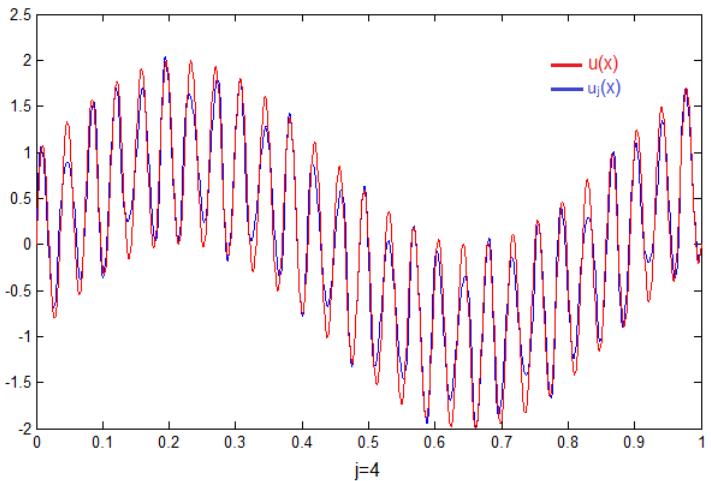
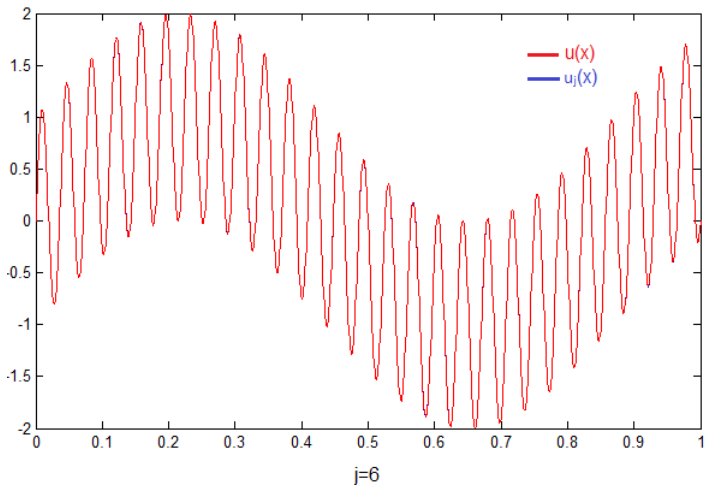
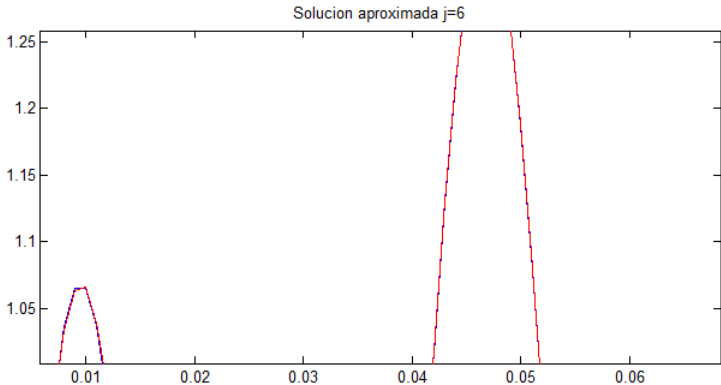


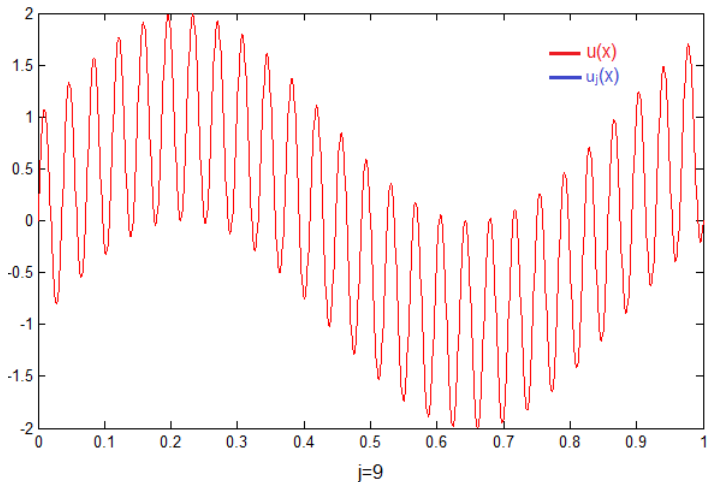
Figura:  $u(x) = \sin(53,7\pi x) + \sin(2,3\pi x)$













# Conclusiones

- Se constuyeron wavelets ortogonales respecto al producto interno  $\langle u', v' \rangle$ .
- La matriz  $K_j$  es una matriz diagonal por bloques.
- Posee número de condición acotado.
- $u_j$  una buena aproximación de  $u$ .



# Trabajo Actual

Construir wavelets que satisfagan el requerimiento de ortogonalidad dado por:

$$a \langle \psi_1, \phi_m(x - k) \rangle = a \langle \psi_2, \phi_m(x - k) \rangle = 0, \quad m = 1, 2, \forall k \in \mathbb{Z},$$

donde  $a$  es la forma bilineal dada por

$$a(u, v) = \int_0^1 u'v'dx + \int_0^1 u v dx$$



# Bibliografía

-  R.Q JIA AND S.T LIU, *Wavelet bases of Hermite cubic splines on the interval*, Advance in Computational Mathematics 25 (2006), pp 23-39.
-  C.K. CHUI AND J.Z. WANG, *On compactly supported wavelets and a duality principle*, Trans. Amer. Math. Soc. 30 (1992), pp 903-916.
-  G. PLONKA AND V. STRELA, *From Wavelets to Multiwavelets*, Vanderbilt University Press Nashville TN, Mathematical Methods for Curves and Surfaces II 25 (1998), pp 1-25.